

УДК 519.2:541.1

ЧИСЛЕННОЕ МОДЕЛИРОВАНИЕ И КОМПЬЮТЕРНЫЙ АЛГОРИТМ ПРОЦЕССА СЕГРЕГАЦИИ ЛЕГИРУЮЩИХ ПРИМЕСЕЙ НА ГРАНИЦЕ ВОЛНЫ ОКИСЛЕНИЯ В ПОЛУПРОВОДНИКОВЫХ ПОДЛОЖКАХ

Г. А. Тарнавский¹, С. И. Шпак¹, М. С. Обрехт²

В работе рассматривается идеология приближенного моделирования сложного физико-химического процесса сегрегации легирующих примесей, имплантированных в базовый материал, при движении по нему волны окисления, а также реализующий эту идеологию компьютерный алгоритм. Приводятся примеры расчетов сегрегации бора, мышьяка, фосфора и сурьмы в кремнии на границе “кремний/двуокись кремния”.

Ключевые слова: численные методы, краевые задачи, сегрегационные эффекты, легирующие примеси, математическое моделирование, параллельные вычисления.

Введение. Сегрегация — сложный физико-химический процесс взаимодействия волны (границы) окисления базового материала типа кремния Si/SiO_2 с легирующими примесями различных химических элементов типа B, Sb, As, P и т.п., имплантированными в этот базовый материал (подложку) для получения необходимых полупроводниковых свойств. Физический механизм сегрегации связан с возникновением на границе окисел/материал электромагнитного поля с узколокализованным и краткодействующим потенциалом высокой интенсивности, выталкивающим из окисла (сегрегация типа эжекции) или втягивающим в окисел (сегрегация типа инжекции) в зависимости от конфигурации внешних электронных оболочек легирующих химических элементов. В частности, на волне Si/SiO_2 имеют место сегрегационные эффекты инжекции бора B и эжекции фосфора P, мышьяка As и сурьмы Sb с образованием областей высоких градиентов их концентраций в направлении по нормали к фронту волны, также узколокализованных в зоне движения границы окисления подложки.

Квантовомеханический подход к решению этой проблемы наталкивается на значительные трудности построения операторов Гамильтона для уравнения Шредингера (см., например, [1]) и практически нереализуем даже на современной вычислительной технике. Это приводит к необходимости применения более упрощенных подходов и создания приближенных моделей сегрегации [2–7] для разработки реально функционирующих алгоритмов не только для 1D, но и 2D (и даже 3D) задач. В частности, применяющиеся в настоящее время методы моделирования сегрегации можно подразделить на три основные группы (см., например, [6]). В первой из них сегрегация, как отдельный физический процесс, не выделяется, а ее расчет производится в рамках решения уравнений диффузии примеси в базовом материале с использованием специального сегрегационного члена при записи полных диффузионных потоков на границе расчетной ячейки (см. [2–4]). В подходах второго типа (см., например, [7]) сегрегационные соотношения используются как краевые условия на некоторой подвижной криволинейной границе, имитирующей движение волны окисления, положение которой априори неизвестно и должно определяться в процессе решения полной задачи типа Стефана. Третья, наиболее простая и фактически одномерная модель, заключается в “принудительном” и достаточно произвольном выносе некоторой части примеси из области окисла в область материала. Подобные подходы наряду с некоторыми определенными достоинствами имеют и ряд недостатков. Полная задача о разработке полупроводниковых материалов включает в себя ряд достаточно сложных основных подзадач (сегментов): сегмент имплантации легирующих примесей в базовый материал; задачу о диффузии этих примесей; проблему окисления материала и сегрегационную задачу на границе окисел/материал. Корректная декомпозиция полной задачи и последовательный расчет ее отдельных сегментов, на наш взгляд, позволяет наиболее эффективно моделировать сложные физические процессы. Аналогичная методология декомпозиции полной задачи и разработка ее отдельных моделей-сегментов успешно применялась в задачах механики сплошной среды (см., например, [8–9]). Построению такой модели и реализующего ее алгоритма посвящена и настоящая работа.

¹ Институт теоретической и прикладной механики СО РАН, ул. Институтская, 4/1, 630007 Новосибирск; e-mail: shpak@itam.nsc.ru

² Siborg Systems Inc., University of Waterloo, Department of Electrical and Computer Engineering, Waterloo, Ontario, Canada, N2L3G1; e-mail: obrecht@siborg.ca

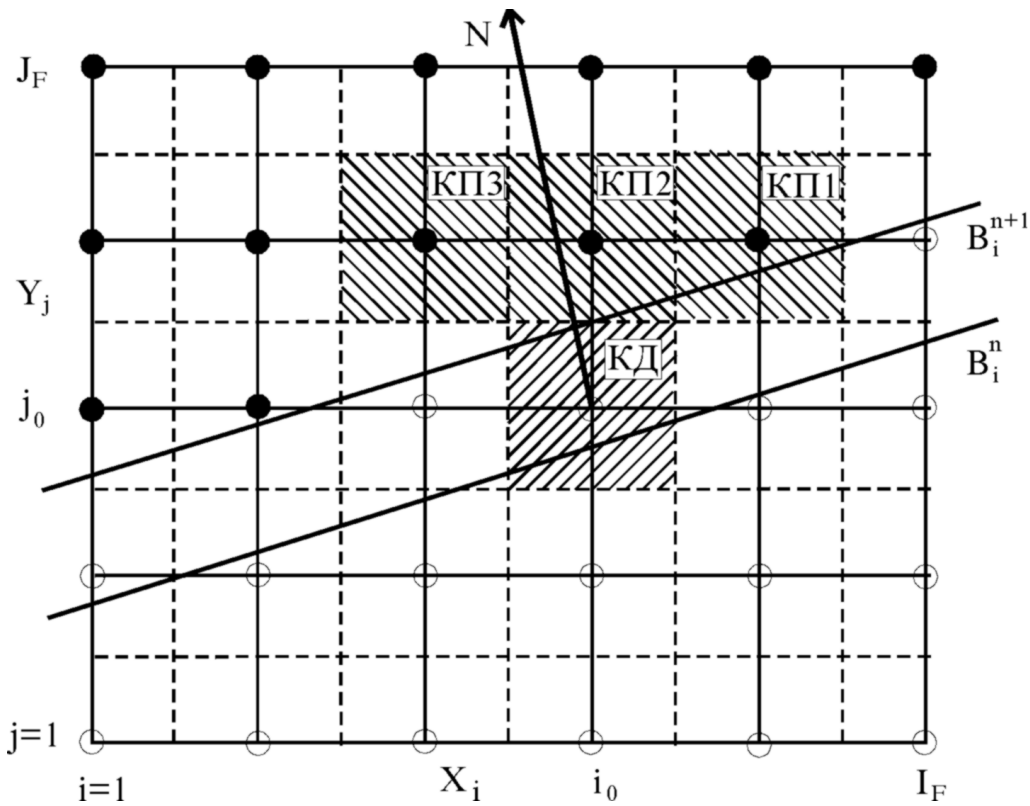


Рис. 1

Постановка задачи. Область \mathfrak{R} , занятая базовым материалом (см. рис. 1), покрыта дискретной сеткой

$$\mathfrak{R}_{ij} = X_i \times Y_j, \quad i \in [1, I_F], \quad j \in [1, J_F]. \quad (1)$$

В каждом сеточном узле определены значения концентрации легирующих примесей C_{ij} . По области \mathfrak{R} идет волна окисления материала, положение которой известно на n и $(n + 1)$ -м слое по времени и задано дискретной функцией B_i^n и B_i^{n+1} . Волна, проходя за время $\tau = t^{n+1} - t^n$, в частности, через узел сетки (i_0, j_0) , сегрегирует (выталкивает или втягивает, в дальнейшем будет использоваться термин “выталкивание”, имея в виду “втягивание” как обратный процесс, возможный для другого типа примеси) из него часть примеси. Вопрос моделирования: какую количественно часть примеси и куда конкретно выталкивает волна из узла (i_0, j_0) ?

Часть I. Физико-математические модели. Законы, гипотезы и приближения.

1. **Закон сегрегации. Гипотеза бесконечно тонкого скачка.** Приближенная модель основана на замене сложной физико-химической природы процесса ее существенно осредненным аналогом, который заключается в следующем: волна окисл/материал, двигаясь в подложке, устанавливает в каждой точке области соотношение концентраций перед и за фронтом по нормали к нему с учетом направления его движения, определяемое выражением, называемым иногда законом сегрегации:

$$m = \frac{C_+}{C_-}, \quad (2)$$

где C_+ и C_- есть концентрация перед и за фронтом скачка соответственно. Величина m , называемая коэффициентом сегрегации, приближенно зависит от ряда факторов

$$m = m_0 \cdot e^{-W_s/kT}, \quad (3)$$

где m_0 — предэкспоненциальный множитель, W_s — потенциал сегрегации, T — температура подложки, k — постоянная Больцмана. Значения m_0 и W_s существенно различны для разных химических элементов и определяются конкретным типом примеси во взаимодействии с конкретным типом волны (в частности, ниже в тестовых экспериментах рассматриваются B, As, Sb, P, Si/SiO₂). Соотношение (3), вообще говоря, справедливо для равновесных процессов, однако в данную гипотезу бесконечно тонкого скачка (2)

может быть введена поправка на неравновесность, которая может быть учтена введением эффективного коэффициента сегрегации

$$m^* = \frac{1}{\eta(1-B) + B/m},$$

где m — равновесный коэффициент сегрегации, η — коэффициент отношения объема исходного материала к объему его оксида ($\eta = 0,44 = V_{\text{Si}}/V_{\text{SiO}_2}$), $B = \lambda/(\lambda + v_0)$, λ — константа скорости реакции сегрегации (для В в Si, например, $\lambda = 7,5 \cdot 10^5 \cdot \exp(-2\text{eV}/kT)$ мкм/мин), v_0 — скорость окисления.

2. Закон сохранения массы. Гипотеза выталкивания (трехточечная модель). Условно определим области квазинепрерывности распределения примеси в ячейках, окружающих узлы расчетной сетки. Эти ячейки (клетки) разделяются границами с полуцелым значением индекса (штриховые линии на рис. 1). Так, границы клетки, окружающие узел (i, j) с координатами (x_i, y_j) , имеют соответственно координаты $(x_{i-1/2}, y_{j-1/2})$, $(x_{i+1/2}, y_{j+1/2})$, где

$$\begin{aligned} x_{i+1/2} &= 0,5(x_{i+1} + x_i), & x_{i-1/2} &= 0,5(x_i + x_{i-1}), \\ y_{j+1/2} &= 0,5(y_{j+1} + y_j), & y_{j-1/2} &= 0,5(y_j + y_{j-1}). \end{aligned} \quad (4)$$

Масса примеси K_{ij} , находящаяся в клетке с центром (i, j) и площадью S_{ij} , есть

$$K_{ij} = C_{ij}S_{ij} = C_{ij}[(x_{i+1/2} - x_{i-1/2})(y_{j+1/2} - y_{j-1/2})]. \quad (5)$$

Трехточечная гипотеза выталкивания примеси формулируется следующим образом: если волна окисла прошла за время τ через центр (i, j) клетки-донора (в дальнейшем сокращенно КД), т.е. при

$$B_i^n \leq y_j \leq B_i^{n+1}, \quad (6)$$

из нее выталкивается масса примеси ΔK_{ij} , распределяемая между клетками-перципиентами (в дальнейшем КП), прилегающими непосредственно к КД и находящимися перед фронтом волны по направлению ее движения. Центры КП находятся в узлах расчетной сетки

$$\text{КП1} : (i + i_1, j + j_1), \quad \text{КП2} : (i + i_2, j + j_2), \quad \text{КП3} : (i + i_3, j + j_3). \quad (7)$$

Примем для определенности, что КП2 есть клетка, в которую “направлен” вектор нормали к фронту волны, проведенный из центра КД, а КП1 и КП3 прилегают к КП2 соответственно при движении в положительном направлении (против часовой стрелки) по углу, отсчитываемому от положительного направления оси X . Таким образом,

$$\Delta K_{ij} = \sum_{\ell=1}^3 \Delta K_{\ell} = \Delta K_{i+i_1, j+j_1} + \Delta K_{i+i_2, j+j_2} + \Delta K_{i+i_3, j+j_3}. \quad (8)$$

Соотношение (8) есть закон сохранения массы и алгоритм автоматически обеспечивает его выполнение во всех расчетных ситуациях.

3. Триангуляция области. Направление выталкивания. Рассмотрим более подробно фрагмент расчетной сетки, в центре которого находится заштрихованная КД (рис. 2), окруженная возможными КП.

Направление выталкивания примеси и координаты КП определяются направлением угла α нормали к фронту волны окисла, проведенному из центра (i, j) КД:

$$\alpha_{ij} = \frac{\pi}{2} + \gamma_{ij}, \quad \text{если } B_i^{n+1} > B_i^n, \quad (9.1)$$

$$\alpha_{ij} = \frac{3\pi}{2} + \gamma_{ij}, \quad \text{если } B_i^{n+1} < B_i^n, \quad (9.2)$$

где γ — угол наклона касательной фронта к X -направлению системы координат

$$\gamma_{ij} = \arctg \left(\frac{B_{i+1}^{n+1} - B_{i-1}^{n+1}}{x_{i+1} - x_{i-1}} \right). \quad (10)$$

Здесь и в дальнейшем все угловые характеристики отсчитываются от положительного направления оси X против часовой стрелки и их значения лежат в интервале $[0, 2\pi)$, за несколькими исключениями, связанными с удобством программирования.

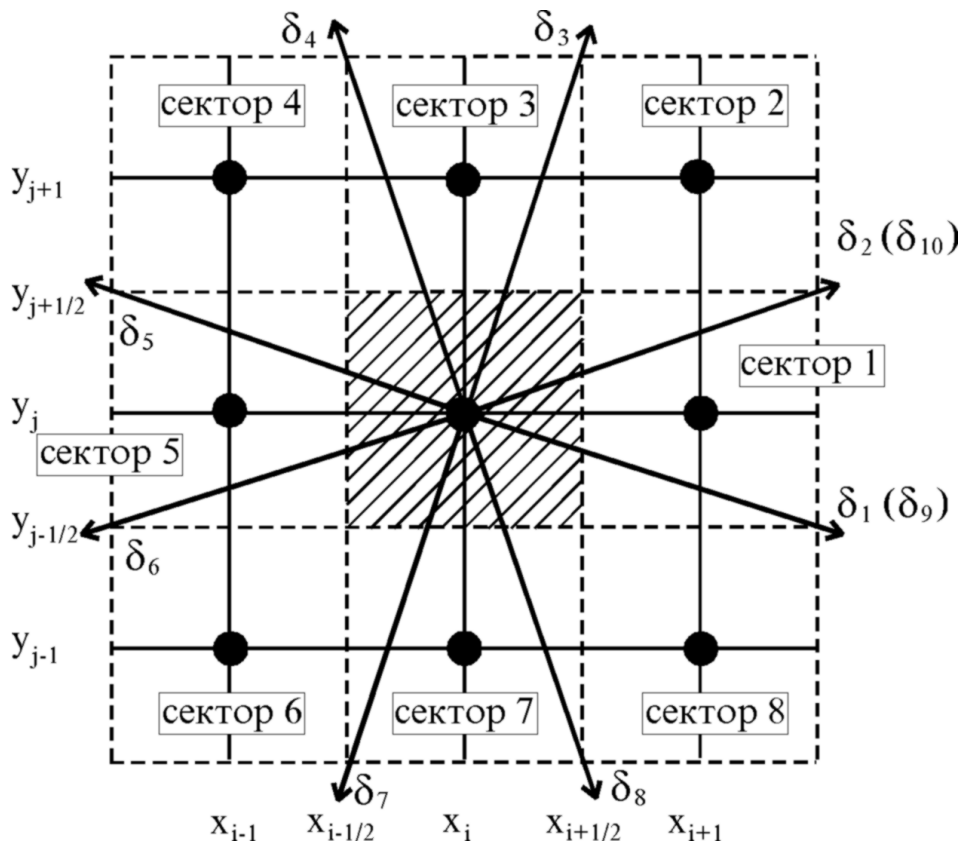


Рис. 2

Из центра КД производится угловая триангуляция ее окрестности — разбивка на сектора обзора, т.е. на углы, под которыми “видны” все соседние клетки, возможные КП. Границы секторов обзора определяются углами δ_k , и полностью сектор имеет величину

$$\Delta_k = \delta_{k+1} - \delta_k, \quad k \in [1, 8]. \quad (11)$$

При попадании вектора нормали в сектор k угловые координаты всех трех КП определяются как

$$\text{для КП1 : } \Delta_{k-1} = \delta_k - \delta_{k-1}, \quad (12.1)$$

$$\text{для КП2 : } \Delta_k = \delta_{k+1} - \delta_k, \quad (12.2)$$

$$\text{для КП3 : } \Delta_{k+1} = \delta_{k+2} - \delta_{k+1}. \quad (12.3)$$

Для унификации использования (11) и (12) в секторах 1, 7 и 8 удобно расширить массивы значений δ_k , $k \in [1, 8]$ до δ_k , $k \in [0, 10]$, введя

$$\delta_0 = \delta_8 - 2\pi, \quad \delta_9 = \delta_1 + 2\pi, \quad \delta_{10} = \delta_2 + 2\pi. \quad (13)$$

Значения δ_k определяются формулами

$$\begin{aligned} \delta_1 &= -\arctg(ay/cx), & \delta_2 &= \arctg(by/cx), \\ \delta_3 &= \arctg(cy/bx), & \delta_4 &= \arctg(cy/ax), \\ \delta_5 &= \arctg(by/dx), & \delta_6 &= \arctg(ay/dx), \\ \delta_7 &= \arctg(dy/ax), & \delta_8 &= \arctg(dy/bx), \end{aligned} \quad (14)$$

где

$$\begin{aligned} ay &= y_j - y_{j-1}, & ax &= x_i - x_{i-1}, \\ by &= y_{j+1} - y_j, & bx &= x_{i+1} - x_i, \\ cy &= y_{j+2} + y_{j+1} - 2y_j, & cx &= x_{i+2} + x_{i+1} - 2x_i, \\ dy &= 2y_j - y_{j-1} - y_{j-2}, & dx &= 2x_i - x_{i-1} - x_{i-2}. \end{aligned} \quad (15)$$

На границах расчетной области формулы (15) корректируются фиктивным расширением (достройкой) сетки с условием ее симметрии относительно границ.

4. Координаты центров клеток-перципиентов. Положение центров КП1, КП2 и КП3, определенные общими формулами (7), конкретизируются после определения сектора, в котором находится вектор нормали, и в (7) должны быть подставлены следующие значения:

$$\begin{aligned}
 &\text{сектор 1 : } i_1 = 1, \quad j_1 = -1, \quad i_2 = 1, \quad j_2 = 0, \quad i_3 = 1, \quad j_3 = 1; \\
 &\text{сектор 2 : } i_1 = 1, \quad j_1 = 0, \quad i_2 = 1, \quad j_2 = 1, \quad i_3 = 0, \quad j_3 = 1; \\
 &\text{сектор 3 : } i_1 = 1, \quad j_1 = 1, \quad i_2 = 0, \quad j_2 = 1, \quad i_3 = -1, \quad j_3 = 1; \\
 &\text{сектор 4 : } i_1 = 0, \quad j_1 = 1, \quad i_2 = -1, \quad j_2 = 1, \quad i_3 = -1, \quad j_3 = 0; \\
 &\text{сектор 5 : } i_1 = -1, \quad j_1 = 1, \quad i_2 = -1, \quad j_2 = 0, \quad i_3 = -1, \quad j_3 = -1; \\
 &\text{сектор 6 : } i_1 = -1, \quad j_1 = 0, \quad i_2 = -1, \quad j_2 = -1, \quad i_3 = 0, \quad j_3 = -1; \\
 &\text{сектор 7 : } i_1 = -1, \quad j_1 = -1, \quad i_2 = 0, \quad j_2 = -1, \quad i_3 = 1, \quad j_3 = -1; \\
 &\text{сектор 8 : } i_1 = 0, \quad j_1 = -1, \quad i_2 = 1, \quad j_2 = -1, \quad i_3 = 1, \quad j_3 = 0.
 \end{aligned} \tag{16}$$

На границах расчетной области все формулы (16) корректируются специальным образом во избежание выхода индексов за пределы определения (1).

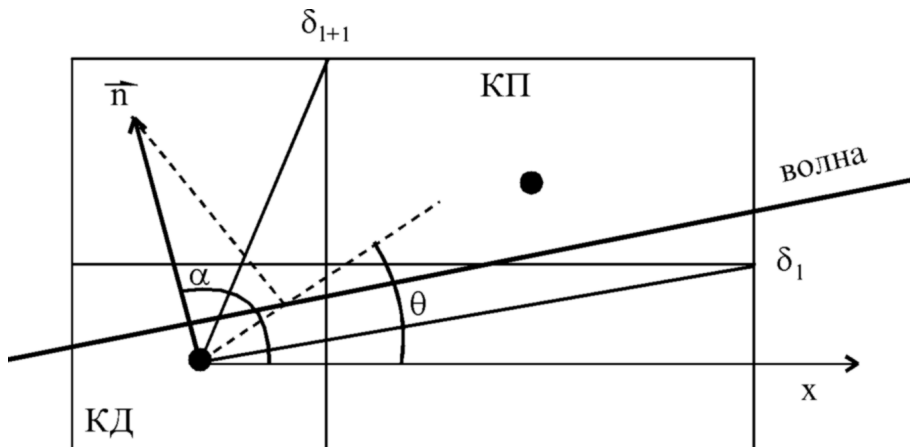


Рис. 3

5. Весовые множители распределения масс. Выносимая из КД масса примеси ΔK_0 распределяется между тремя КП (см. (8)) с безусловным выполнением закона сохранения масс. Каждая из этих КП получает свою долю массы

$$\Delta K = \sum_{\ell=1}^3 \Delta K_\ell, \quad \Delta K_\ell = f_\ell \Delta K, \quad \ell = 1, 2, 3. \tag{17}$$

Для физически обоснованного определения значений весовых множителей f_ℓ рассмотрим рис. 3 и определим поток вектора n , исходящий из КД, в сектор захвата $\Delta_\ell = \delta_\ell - \delta_{\ell-1}$ одной из КП. Заметим, что сектор захвата клеткой-перципиентом “излучения”, исходящего из КД, естественно, равен углу обзора, под которым эта КП видна из центра КД. Тогда интенсивность излучения в сектор δ_ℓ есть

$$I = \int_{\delta_\ell}^{\delta_{\ell+1}} n_\theta(\theta) d\theta = N \int_{\delta_\ell}^{\delta_{\ell+1}} \cos(\alpha - \theta) d\theta = N [\sin(\alpha - \delta_\ell) - \sin(\alpha - \delta_{\ell+1})]. \tag{18}$$

После несложных, но громоздких тригонометрических выкладок (18) может быть преобразована к виду

$$I = 2N \sin\left(\frac{\delta_{\ell+1} - \delta_\ell}{2}\right) \cos\left(\alpha - \frac{\delta_{\ell+1} + \delta_\ell}{2}\right). \tag{19}$$

В этом виде (19) имеет ясный физический смысл. Первый член $\sin((\delta_{\ell+1} - \delta_\ell)/2)$ представляет влияние размера сектора захвата на поток “излучения” в него: при его уменьшении $\delta_{\ell+1} \rightarrow \delta_\ell$ уменьшается и поток

в него, становясь в пределе равным нулю. Второй член $\cos(\alpha - (\delta_{\ell+1} + \delta_\ell)/2)$ сопоставляет направление потока, определяемое его углом нормали α и положением угловой средней линии $(\delta_{\ell+1} + \delta_\ell)/2$ сектора захвата. При совпадении направлений $\alpha = (\delta_{\ell+1} + \delta_\ell)/2$, естественно, максимум потока приходится именно в этот сектор (значение \cos максимально). Таким образом, захват массы примеси, исходящей из КД в рассматриваемую КП, пропорционален

$$Z \sim \int_{\ell} I_{\ell}^2 ds = I^2 S_{\ell}, \quad (20)$$

где S_{ℓ} — площадь КП.

Окончательно весовой множитель f_{ℓ} в (17), исходя из (19)–(20), должен быть определен как

$$f_{\ell} = \mu \sin^2 \left(\frac{\delta_{\ell+1} - \delta_\ell}{2} \right) \cos^2 \left(\alpha - \frac{\delta_{\ell+1} + \delta_\ell}{2} \right) S_{\ell}, \quad (21)$$

где μ — нормировочный множитель. Распределение массы, исходящей из КД по соответствующим КП, представляется в виде

$$\Delta K_{\ell} = \mu \sin^2(\Delta'_{\ell}) \cos^2(\alpha - \beta_{\ell}) S_{\ell} \Delta K, \quad (22)$$

$$\mu = \frac{1}{\sum_{\ell} [\sin^2(\Delta'_{\ell}) \cos^2(\alpha - \beta_{\ell}) S_{\ell}]}, \quad (23)$$

где

$$\Delta'_{\ell} = (\delta_{\ell+1} - \delta_\ell)/2, \quad (24)$$

$$\beta_{\ell} = (\delta_{\ell+1} + \delta_\ell)/2. \quad (25)$$

Заметим, что вместо β_{ℓ} , определяемым (25), можно использовать β'_{ℓ} — угол между центрами КД и КП:

$$\beta'_{\ell} = \arctg \left(\frac{y_{\ell+1} - y_{\ell}}{x_{\ell+1} - x_{\ell}} \right). \quad (26)$$

В случае равномерных сеток $\beta_{\ell} = \beta'_{\ell}$. Подчеркнем, что распределение (22) и нормировка (23) автоматически обеспечивают выполнение закона сохранения массы (17).

6. Закон сегрегации. Гипотезы предельного перехода. В предыдущем пункте было определено, каким образом (количественно) следует распределять массу ΔK , выносимую из КД, по различным КП. Теперь следует определить, сначала качественно, на уровне построения некоторых модельных приближений, а затем на их основе — количественно, какую именно массу ΔK следует выносить из КД. Это достаточно сложная для 2D, и тем более для 3D-задач, проблема.

В п. 1. была сформулирована гипотеза бесконечно тонкого скачка, используемая в данном комплексе моделирования физико-математических аспектов проблемы. В математическом смысле это означает замену реально волны окисления, имеющей хотя и малую, но конечную толщину, разрывным фронтом криволинейной конфигурации. Наличие разрыва делает неопределенным понятие порядка аппроксимации непрерывных функций их дискретными аналогами, и здесь можно говорить лишь о порядке так называемой слабой аппроксимации. “... Наличие в расчетной области сильных разрывов сразу понижает любой порядок аппроксимации до первого ...” [10]. Подобные предельные переходы требуют особого внимания, осторожности и аккуратности в постановке условий на скачке — перед и за его фронтом.

Закон сегрегации (2), записанный в таком виде, требует точного определения понятий C_+ и C_- как предельных значений некоторых непрерывных функций или их дискретных аналогов, определенных в узлах расчетной сетки. Подчеркнем, что граница окисления как математический разрыв не обязательно проходит по этим узлам (необходимо также иметь в виду ее динамику во времени), что делает достаточно затруднительным построение идеологии “сноса” значений концентраций C_{ij} , фактически некоторой интерполяции на границу раздела

$$C_+ = \text{Int}(C_{ij}^1), \quad C_- = \text{Int}(C_{ij}^2), \quad (27)$$

где в символической форме представлены C_{ij}^1 и C_{ij}^2 — значения концентраций перед и за фронтом разрыва в узлах расчетной сетки в непосредственной окрестности точки разрыва, в которую производится предельный переход. В предсталяемом алгоритме предлагаются следующие модели предельного перехода:

$$C_- = C_{ij}^{n+1}, \quad (28)$$

$$C_+ = \sum_{\ell=1}^3 f_\ell C_\ell^{n+1}, \quad (29)$$

где C_{ij} — концентрация примеси в центрах КД, C_1, C_2, C_3 — их концентрации в центрах трех КП, а весовые множители f_ℓ такие же, как при расчете распределения массы по трем КП (21). Индексы центров КП приведены в (7) и (16). “Неявность” предельного перехода позволяет обеспечить существенно большую устойчивость вычислительного алгоритма. Заметим, что в численных экспериментах использовался и другой предельный переход (29)

$$C_+ = C_{i+i_2,j+j_2}^{n+1}, \quad (30)$$

который в отдельных случаях (при большой кривизне фронта разрыва) работал более устойчиво, чем (29), уступая ему по точности в основных стандартных ситуациях.

Для получения значений ΔK проведем цепочку выкладок (для краткости и унификации обозначений для КД вместо C_{ij}^{n+1} будем использовать C_0^{n+1}). Пусть

$$m \frac{df}{dC_-} \frac{C_+}{C_-} = \frac{\sum_{\ell=1}^3 f_\ell C_\ell^{n+1}}{C_0^{n+1}}. \quad (31)$$

На n -слое по времени в КД и КП содержалась масса примеси (S — площади соответствующих клеток):

$$K_0^n = C_0^n S_0, \quad K_\ell^n = C_\ell^n S_\ell, \quad \ell = 1, 2, 3. \quad (32)$$

После выноса массы из КД и распределения ее по КП имеем с учетом (17)

$$K_0^{n+1} = K_0^n - \Delta K, \quad K_\ell^{n+1} = K_\ell^n + \Delta K_\ell = K_\ell^n + f_\ell \Delta K. \quad (33)$$

Из (33) определяются новые концентрации:

$$\begin{aligned} C_0^{n+1} &= \frac{K_0^{n+1}}{S_0} = \frac{K_0^n - \Delta K}{S_0} = C_0^n - \frac{\Delta K}{S_0}, \\ C_\ell^{n+1} &= \frac{K_\ell^{n+1}}{S_\ell} = \frac{K_\ell^n + f_\ell \Delta K}{S_\ell} = C_\ell^n + \frac{f_\ell \Delta K}{S_\ell}, \quad \ell = 1, 2, 3. \end{aligned} \quad (34)$$

Подставляя (34) в (35), получим

$$m = \frac{\sum_{\ell=1}^3 f_\ell (C_\ell^n + f_\ell \Delta K / S_\ell)}{C_0^n - \Delta K / S_0}. \quad (35)$$

Из (35) уже можно определить значение выносимой массы

$$mC_0^n - m\Delta K / S_0 = \sum_{\ell=1}^3 f_\ell C_\ell^n + \Delta K \sum_{\ell=1}^3 f_\ell^2 / S_\ell,$$

откуда окончательно

$$\Delta K = \frac{mC_0^n - \sum_{\ell=1}^3 f_\ell C_\ell^n}{m/S_0 + \sum_{\ell=1}^3 f_\ell^2 / S_\ell}. \quad (36)$$

Выражение (36) справедливо для обоих типов сегрегации:

- a) $m > 1 \Rightarrow \Delta K > 0$ (эжекция примеси),
- б) $m < 1 \Rightarrow \Delta K < 0$ (инжекция примеси).

7. Порядок следования операций в алгоритме. Выполнение описанных выше процедур происходит в следующей последовательности:

- 1) подготовка операций, ввод определяющих параметров и построение сетки;
- 2) начало итерационного цикла;
- 3) координатные циклы — последовательное сканирование по расчетной области;

- 4) поиск по заданному положению границы волны окисла координатной позиции действия алгоритма — центра КД (i, j);
- 5) определение угла наклона границы и ее нормали (10), (9);
- 6) триангуляция расчетной области (15), (14), (13), (12);
- 7) определение координат трех КП (7), (16);
- 8) расчет весовых множителей (23), (24), (25), (21);
- 9) расчет значения выносимой из КД массы (36);
- 10) расчет значений вносимых в КП масс (22);
- 11) расчет новых концентраций (34);
- 12) конец координатных циклов;
- 13) проверка решения на сходимость;
- 14) возврат на новый итерационный цикл или выход из решения;
- 15) таблично-графическая обработка информации.

8. Заключение к части I. Таким образом, представляемый алгоритм сегрегации опирается на два физических закона (закон сохранения массы и закон сегрегации в приближении “тонкого слоя”) и пять гипотез моделирования:

- 1) вынос массы из клетки-донора за фронтом осуществляется в три ближайшие клетки-перципиенты перед фронтом для эжекции (выталкивания), и наоборот — для инъекции (втягивания),
- 2) определение весовых множителей распределения массы по КП,
- 3) модель математического разрыва,
- 4) модель вида предельного перехода концентраций на разрыве,
- 5) гипотеза равенства весовых множителей распределения масс и предельного перехода концентраций на разрыве.

Численные эксперименты показали устойчивость, быструю сходимость, хорошую точность и безотказное функционирование алгоритма в достаточно широком диапазоне параметров.

Часть II. Некоторые результаты моделирования. Представленный выше метод и реализующий его компьютерный алгоритм был применен для моделирования процесса сегрегации легирующих примесей бора В, фосфора Р, сурьмы Sb и мышьяка As, имплантированных в подложку кремния Si (в кристаллизованном или аморфном состоянии) при движении в нем волны окисления кислородом Si/SiO_2 .

Размерные параметры задачи: размер подложки Si (расчетной области (X, Y) — ширина и глубина соответственно) — от 0,5 до 1,5 мкм; начальная и конечная толщины окисла — 0,01 мкм и 0,8 мкм соответственно; средняя толщина волны окисла Si/SiO_2 около 0,001 мкм (что делает достаточно разумным применение физической модели тонкого слоя и математического разрыва); начальные концентрации примесей при равномерной имплантации для В, Р, Sb, As находятся в диапазоне $10^{16} - 10^{22} \text{ см}^{-3}$ (при неравномерной в глубину Si-имплантации характерные распределения примесей приводятся отдельно); равновесные значения коэффициента сегрегации $m = 0,3, 200, 200, 200$; учет неравновесности корректирует их до значений $m^* = 0,91, 30, 30, 30$; скорость окисления составляла 0,005 мкм/мин при давлении свободного O_2 в 10^5 Па и температуре окисления 1100°C . При проведении расчетов применялись нормировки: линейных размеров — к 1 мкм, времени — к 1 мин, концентраций к — 10^{20} см^{-3} , что обеспечивает при необходимости пересчет полученной информации из безразмерной в размерную форму.

1. Плоская волна сегрегации. Постановка задачи: в начальный момент времени в узлах (i, j) пространства $\mathfrak{R}_{ij}, i \in [1, N], j \in [1, M]$ заданы массивы концентраций примесей C_{ij}^0 . В пространстве $\mathfrak{R}_{ij}^1, i \in [1, N], j \in [1, j_*^0]$, представляющем плоскую ленту, дислоцирован массив кремния Si_{ij} , а в подпространстве $\mathfrak{R}_{ij}^2, i \in [1, N], j \in [j_*^0 + 1, M]$, — массив двуокиси кремния $(\text{SiO}_2)_{ij}$ (естественно, $\mathfrak{R}^1 + \mathfrak{R}^2 = \mathfrak{R}$). Таким образом, в начальный момент времени $n = 0$ граница Si/SiO_2 параллельна оси X и расположена между узлами j_*^0 и $j_*^0 + 1$. Давление O_2 на внешней границе $j = M$ принимается равномерным и постоянным на все время численного эксперимента, что обеспечивает также равномерную и постоянную скорость движения волны окисла $V_{\text{Si}/\text{SiO}_2}(x, y, t) = \text{const}$.

Физический процесс: двигаясь плоским фронтом по i в сторону уменьшения j , волна или выталкивает перед своим фронтом часть примесей ($m > 1$), или втягивает за свой фронт часть примесей ($m < 1$). Развиваясь во времени, процесс должен образовать высокий пик концентраций на фронте волны и достаточно гладкое распределение за фронтом. Разумеется, поле концентраций перед фронтом должно быть равным начальному.

Предварительный анализ: рассматриваемая плоская задача является хорошим тестом для метода, алгоритма и компьютерной программы, поскольку эквивалентна одномерной задаче, для которой могут быть выписаны следующие рекуррентные формулы:

| | |
|-----------------------------|---|
| положение волны между: | $(j+1, j),$ |
| концентрация за фронтом: | $C_{j+1}^{n+1} = \frac{1}{m+1}(C_{j+1}^n + C_j^n),$ |
| концентрация перед фронтом: | $C_j^{n+1} = \frac{m}{m+1}(C_{j+1}^n + C_j^n),$ |
| положение волны между: | $(j, j-1),$ |
| концентрация за фронтом: | $C_j^{n+2} = \frac{1}{m+1}(C_j^{n+1} + C_{j-1}^n),$ |
| концентрация перед фронтом: | $C_{j-1}^{n+2} = \frac{m}{m+1}(C_j^{n+1} + C_{j-1}^n),$ |
| положение волны между: | $(j-1, j-2),$ |
| концентрация за фронтом: | $C_{j-1}^{n+3} = \frac{1}{m+1}(C_{j-1}^{n+2} + C_{j-2}^n),$ |
| концентрация перед фронтом: | $C_{j-2}^{n+3} = \frac{m}{m+1}(C_{j-1}^{n+2} + C_{j-2}^n)$ |

и т.д., увеличивая индекс $n \rightarrow n+1$ и уменьшая индекс $j \rightarrow j-1$ для всех величин в левой части равенств и первых членов (в скобках) правых частей. Для вторых членов (в скобках) в правой части меняется индекс $j \rightarrow j-1$, а индекс n остается неизменным. Вообще говоря, для этого члена можно написать $n = 0$, поскольку в данной постановке поле параметров перед фронтом, т.е. фон, по которому движется волна, не меняется во времени.

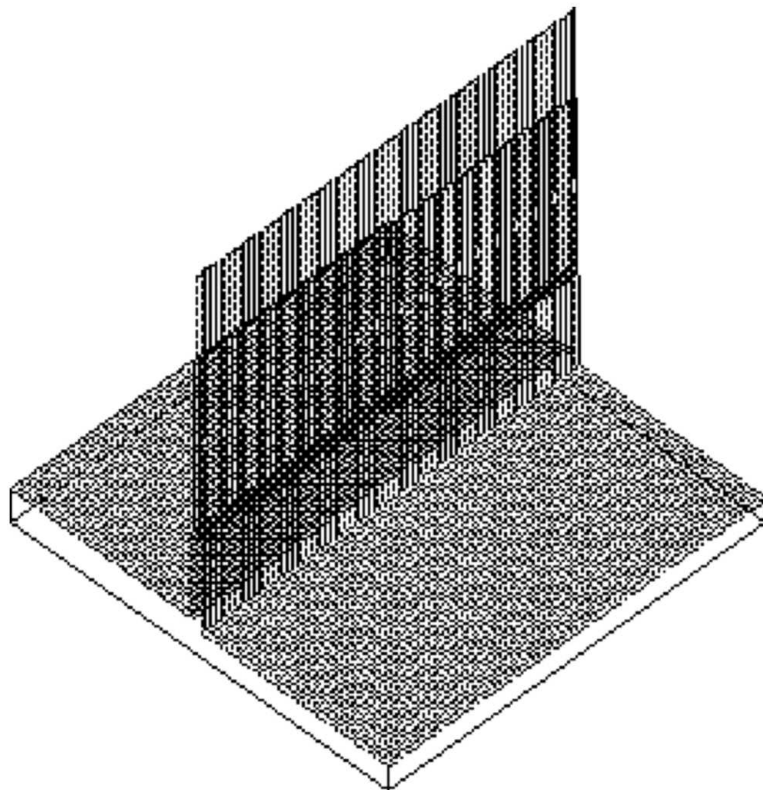


Рис. 4

Результаты расчетов: на рис. 4 показана пространственная картина значений концентраций C_{ij} процесса сегрегации фосфора Р ($m = 200$), соответствующая моменту времени $n = 40$, за которое волна продвинулась к координате $j_*^n = 40$ (начальное положение при $n = 0$, $j_*^n = 1$). Хорошо видна ровная по высоте и прямая вдоль x -координаты “стена” функции C_{ij} . Рис. 5 представляет “вертикальный” одномерный разрез этой картины вдоль оси x , т.е. функцию $C(x, y = \text{const})$, позволяющий провести количественный анализ задачи. Здесь присутствуют все характерные позиции физического процесса сегрегации фосфора: ровная “полка” концентраций перед фронтом, пик на фронте, плавное и равномерное распределение концентрации за фронтом.

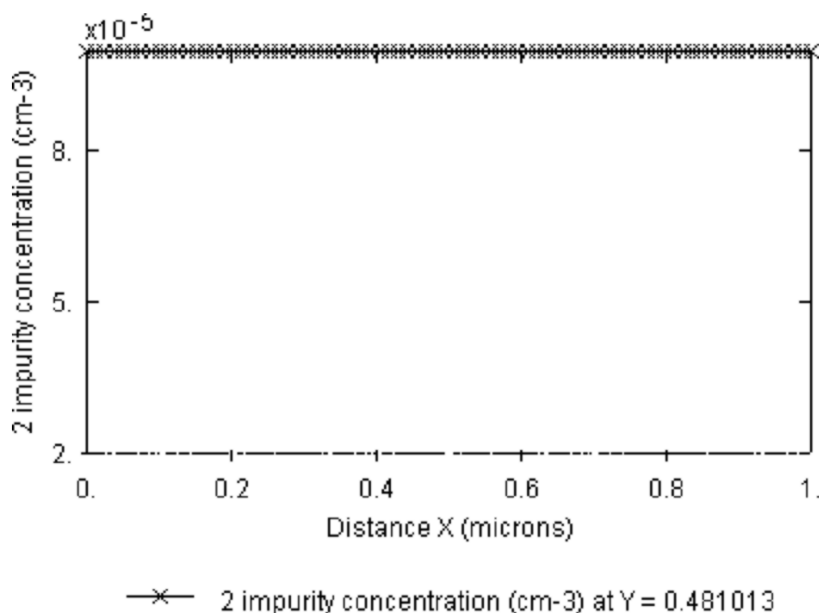


Рис. 5

ление за фронтом. Численно значения компьютерного расчета совпадают со значениями, полученными по рекуррентным формулам с высокой точностью, закон сохранения массы и закон сегрегации выполняются с машинной точностью.

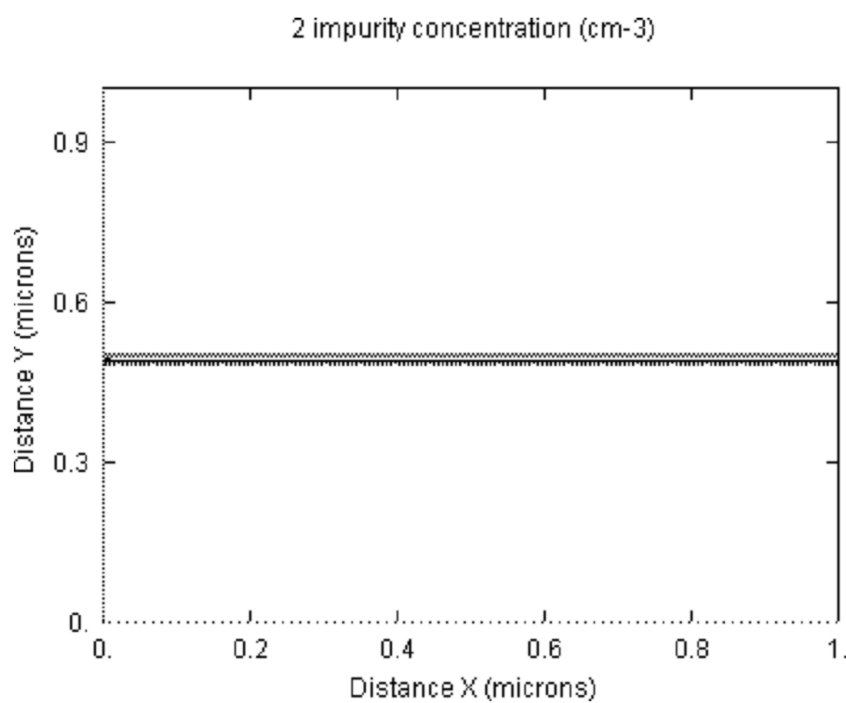


Рис. 6

Рис. 6 представляет проекцию пространственной картины рис. 4 на плоскость, т.е. конфигурацию изолиний функции $C(x, y)$. Симметричность и прямоугольность изолиний (с учетом способов их построения графическим пакетом) делает возможным прогнозировать устойчивость и качественное функционирование алгоритма при решении двумерных задач.

2. Сегрегация в каверне. Постановка задачи: в расчетном (сеточном) полном пространстве \mathfrak{R}_{ij} , $i \in [1, N]$, $j \in [1, M]$ имеется два подпространства, одно из которых R_{ij}^1 , представляющее собой прямоугольную каверну (“траншею”), состоящую из двух сегментов $\mathfrak{R}_{ij}^1 = \mathfrak{R}_{ij}^{11} + \mathfrak{R}_{ij}^{12}$, где \mathfrak{R}_{ij}^{11} представляет собой ленту $i^{11} \in [1, N]$, $j^{11} \in [j_2^0, M]$, а \mathfrak{R}_{ij}^{12} — примыкающий к ней прямоугольник $i^{12} \in [i_1^0, i_2^0]$, $j^{12} \in [j_1^0, j_2^0 - 1]$, причем $i_1^0, i_2^0, j_1^0, j_2^0$ — заданные для каждого расчета параметры, варьируемые в серии численных экспериментов (изменяющие ширину и глубину каверны). Второе подпространство $\mathfrak{R}_{ij}^2 = \mathfrak{R}_{ij} - \mathfrak{R}_{ij}^1$. В начальный момент времени $t = 0$ в \mathfrak{R}_{ij}^2 дислоцирован Si, в \mathfrak{R}_{ij}^1 — SiO₂, во всей \mathfrak{R} распределена легирующая примесь с концентрацией C_{ij} и с равновесным $m = 200$ и неравновесным $m^* = 30$ значениями коэффициента сегрегации (в представляемых ниже графиках — сурьма Sb, $m = 200$). На границе Si/SiO₂ образуется волна окисления, распространяющаяся вглубь Si, приводящая к сегрегированию части Sb — выталкиванию ее фронтом волны перед собой.

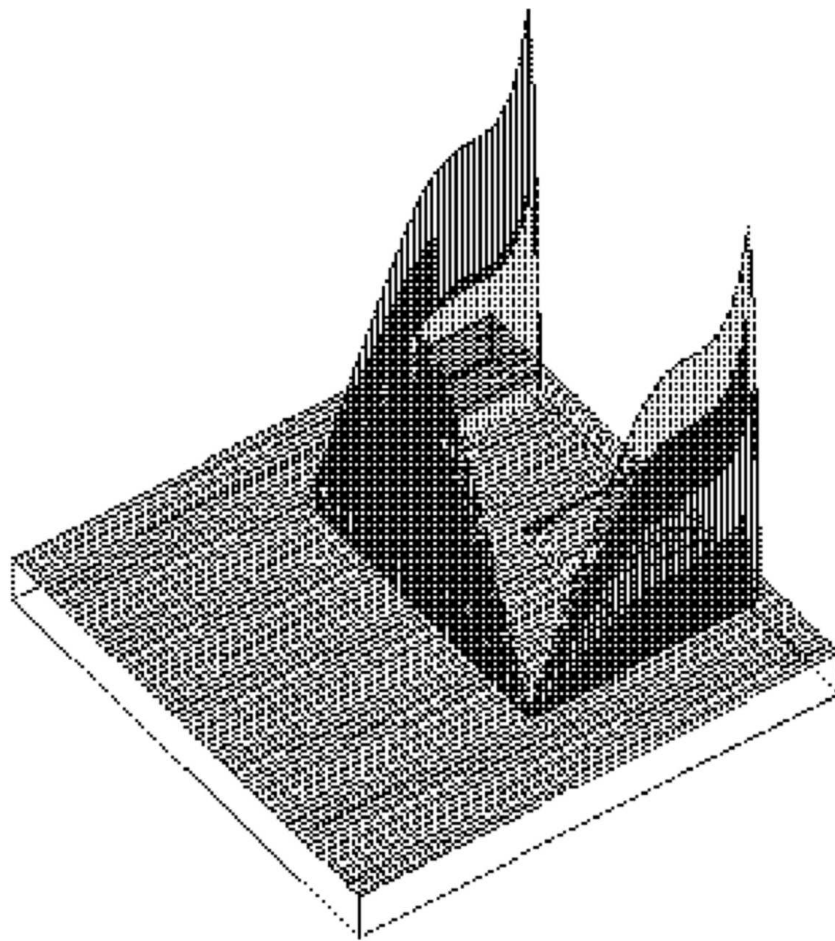


Рис. 7

На рис. 7 приведена пространственная картина $C(x, y)$, возникающая к моменту времени $t = 20$ мин (сетка 80×80 узлов, $x \times y = 1 \times 1$ мкм, $V_{\text{Si}/\text{SiO}_2} = 10^{-2}$ мкм/мин, компьютерное время расчета менее 1 сек на Р-120). Хорошо просматриваются крутые “стены” фронта сегрегации, прошедшие от начальной конфигурации каверны и образовавшие новую каверну оксида в силиконе. Из этой каверны существенная часть Sb была вытеснена наружу в область перед фронтом волны. На углах каверны величина “стены” $C(x, y)$ существенно меньше, чем в центрах переднего, левого и правого фронтов, иллюстрируя “эффект бульдозера”, когда на ноже этого дорожностроительного механизма срезанный грунт образует характерную конфигурацию с максимумом в центре и минимумами по углам.

Рис. 8 представляет одномерный график распределения $C(x, y = \text{const})$, т.е. “разрез” картины рис. 7 вдоль x -координаты при фиксированном y_j (здесь $j = (j_1^0 + j_2^0)/2$). Симметричность картины относительно x -координаты средней линии каверны иллюстрирует обеспечение алгоритмом симметрии решения

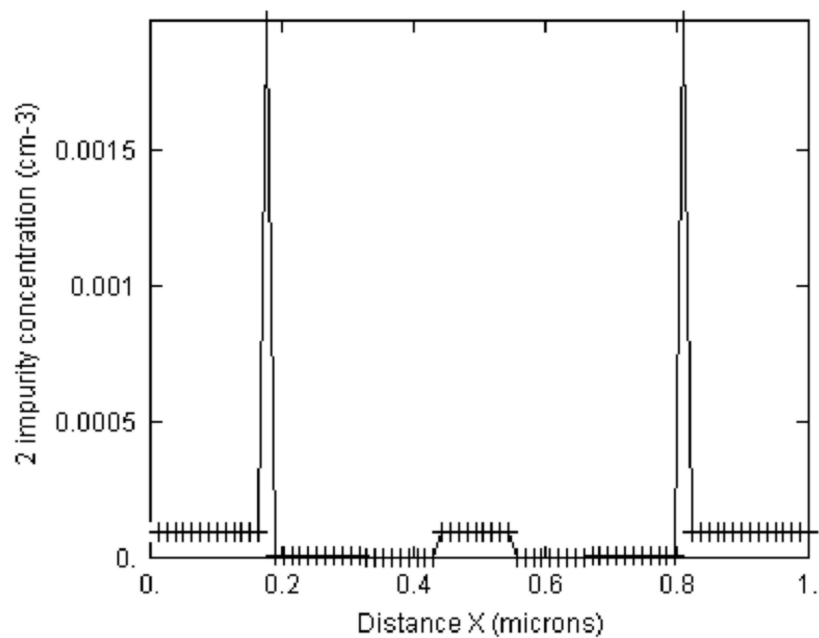


Рис. 8

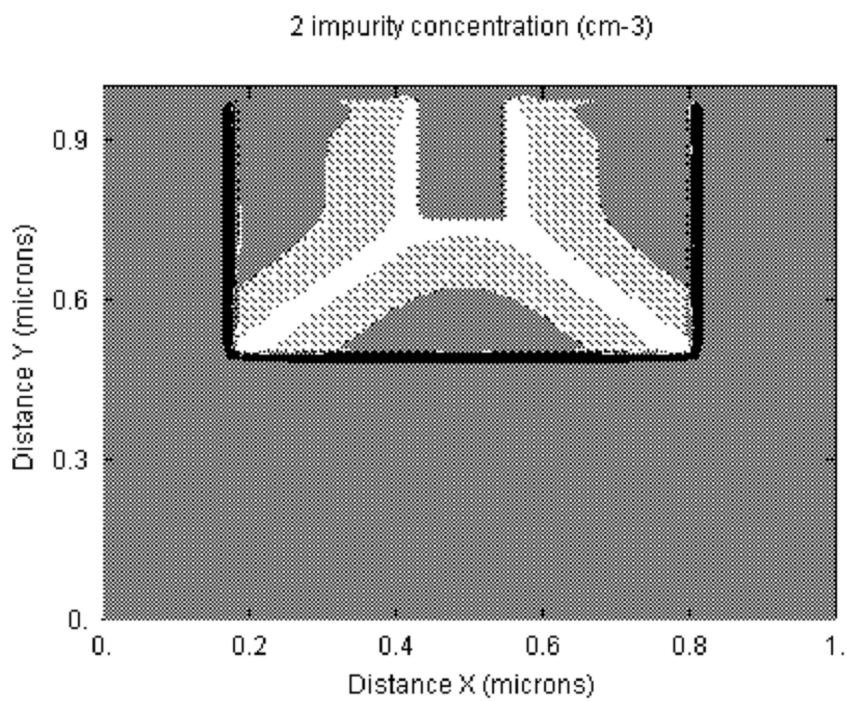


Рис. 9

задачи, несмотря на то, что неявность вычислительной схемы связывает друг с другом значение C_{ij} во всех узлах сетки, а необходимость определенности перебора узлов в однопроцессорной системе детерминирует и направление "движения" алгоритма вдоль фронта с нарушением симметрии данных (шаг за шагом, последовательно, алгоритм проводит обработку части данных, представляющих уже не исходные, с n -временного слоя данные, а со слоя $(n + v)$, где v — номер шага итерационного процесса неявной схемы), а это требует некоторого контроля, который особенно удобно проводить на задачах, где суще-

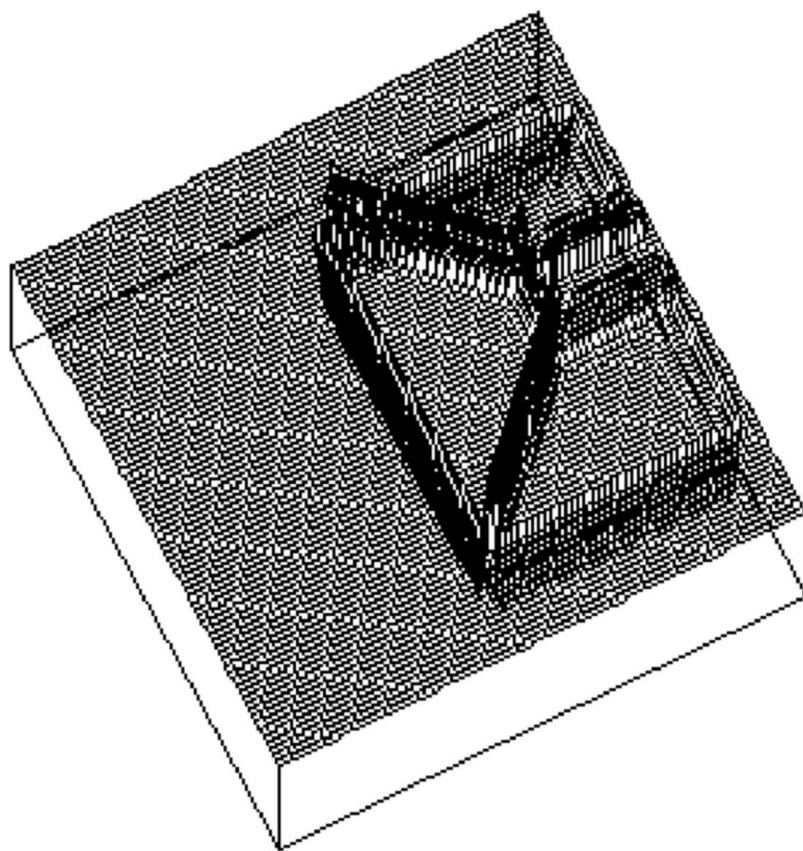


Рис. 10

ствуют области симметрии решения и количественный анализ нарушения этой симметрии может быть принят как критерий точности метода и/или реализующего его алгоритма. На рис. 9 показаны изолинии функции $C(x, y)$ в области расчета на тот же момент времени в двумерном формате, дополняющий пространственное (рис. 7) и одномерное (рис. 8) представление информации.

Для полноты анализа этого типа эксперимента на рис. 10–12 приведены аналогичные данные для расчета сегрегации бора В, у которого $t < 1$, и вместо выталкивания части примеси фронтом имеет место обратный процесс — втягивание части примеси за фронт. Рис. 10 представляет в пространственной картине наличие “провала”, в который инжектируется В; рис. 11 дает возможность количественно проанализировать полученную информацию (распределение примеси $C(x, y = \text{const})$, величину пиков сегрегации, постепенное выглаживание за фронтами) и сравнить эти данные с данными расчета по рекуррентным формулам на “одномерных” участках (совпадение с высокой точностью). Последний в этой серии рис. 13 (аналог рис. 9) позволяет сделать окончательный вывод о применимости метода и реализующего его алгоритма для расчета двух типов сегрегации: эжекции (выталкивания) и инжекции (втягивания) примеси фронтом волны окисления.

Краткое изложение полученных вычислительных результатов, фактически их демонстрационное представление, связано с тем, что основной целью настоящей работы является подробное описание методологии и алгоритма решения физико-химической проблемы сегрегации. В последующем цикле статей будут представлены и обсуждены результаты расчетов ряда задач.

Авторы считают своим приятным долгом выразить благодарность А. Л. Александрову за участие в проведении тестовых экспериментов, полезные обсуждения, постоянное внимание и интерес к данной работе.

Заключение. Приведенный выше теоретический метод и вычислительный алгоритм расчета сегрегационных задач показал высокую точность и безотказность функционирования в широком диапазоне

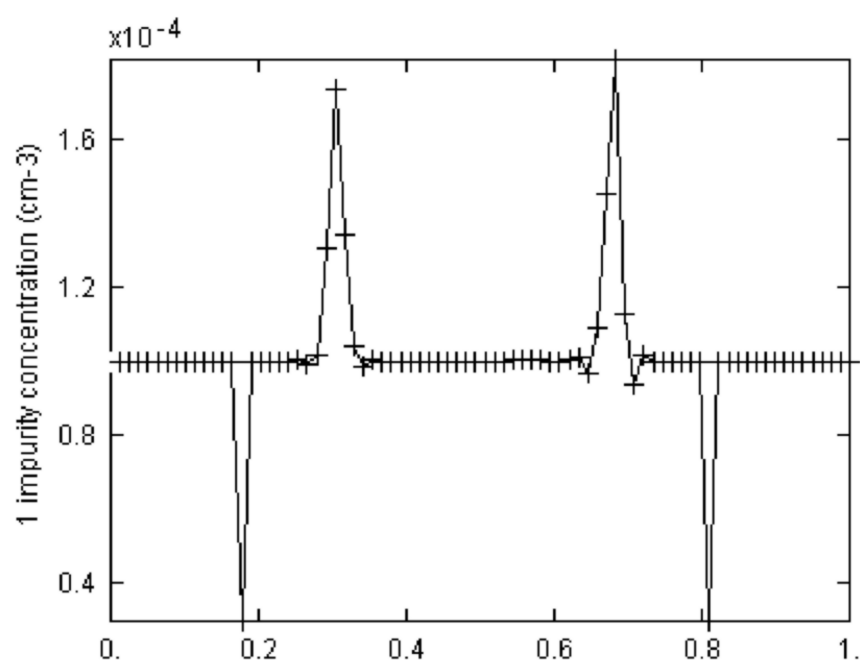


Рис. 11

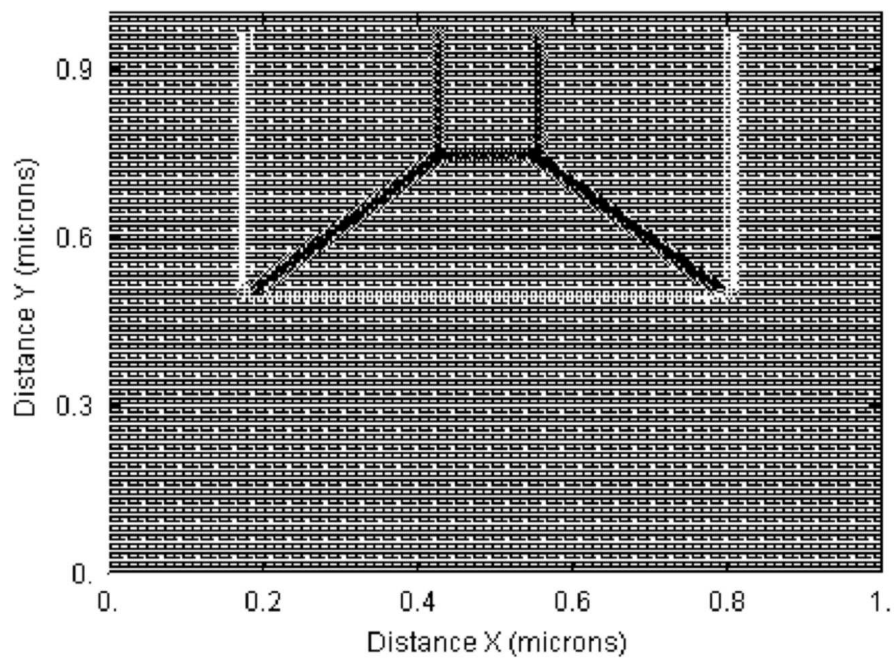
1 impurity concentration (cm^{-3})

Рис. 12

определяющих параметров и является одним из аспектов компьютерного конструирования материалов с определенными полупроводниковыми свойствами.

СПИСОК ЛИТЕРАТУРЫ

- Ландау Л. Д., Лифшиц Е. М. Теоретическая физика. Т. 3. Квантовая механика. М: Физматгиз, 1963.
- Ho C. P., Plumber J. D. Si/SiO₂ interface oxidation kinetics: a physical model for the influence of high substrate doping levels. I. Theory // J. Electrochem. Soc. 1979. **126**, N 9. 1516–1522.

3. Ho C. P., Plumber J. D. Si/SiO₂ interface oxidation kinetics: a physical model for the influence of high substrate doping levels. II. Comparison with experiment and discussion // J. Electrochem. Soc. 1979. **126**, N 9. 1523–1530.
4. Ho C. P., Plumber J. D., Meindl J. D. Thermal oxidation of heavily phosphorus-doped silicon // J. Electrochem. Soc. 1978. **125**, N 4. 665–671.
5. Chin D., Oh S. Y., Hu S. M., Dutton R. W., Moll J. L. Two-dimensional oxidation // IEEE Trans. Elec. Dev. 1983. ED-30, N 7, 744–749.
6. Rafferty C. S. Stress Effects in Silicon Oxidation. Simulation and Experiments. 1989. Ph.D Theses. Stanford University, Stanford, California.
7. Кольдяев В. И., Мороз В. А., Назаров С. А. Двумерное моделирование легирования и окисления кремния // Автометрия. 1988. № 3. 46–54.
8. Тарнавский Г. А., Шпак С. И. Проблемы численного моделирования сверхзвукового ламинарно-турбулентного обтекания тел конечного размера // Матем. моделирование. 1998. **10**, № 6. 53–74.
9. Тарнавский Г. А., Шпак С. И. Декомпозиция методов и распараллеливание алгоритмов решения задач аэrodинамики: вычислительная система “Поток-3” // Программирование. 2000. № 6. 45–57.
10. Годунов С. К. Воспоминания о разностных схемах. Новосибирск: Научная книга, 1997.

Поступила в редакцию
21.02.2001
